



11. 20



دانشگاه شهید بهشتی
دانشکده مهندسی هسته ای

طراحی سیستم رادیوگرافی نوترونی با استفاده از کد MCNPX

پایان نامه کارشناسی ارشد مهندسی هسته ای
گرایش کاربرد پرتوها

حمید جعفری

استاد راهنما:
آقای دکتر مجید شهریاری

لئن اهدیات مادر علی به
دکتر شهریاری دکتر

۱۳۸۸/۱۱/-۴

تیر ماه ۱۳۸۸



دانشگاه شهید بهشتی
دانشکده مهندسی هسته ای

پایان نامه کارشناسی ارشد مهندسی هسته ای - گرایش کاربرد پرتوها
تحت عنوان:

طراحی سیستم رادیوگرافی نوترونی با استفاده از کد MCNPX

در تاریخ ۱۰/۶/۱۳۸۸ پایان نامه دانشجو، (حمید جعفری)، توسط کمیته تخصصی داوران مورد بررسی و تصویب
نهائی قرار گرفت و با نمره ۷۵/۱۹ ارزشیابی گردید.

- ۱- استاد راهنمای: آقای دکتر مجید شهریاری
- ۲- استاد داور (داخلی): آقای دکتر فریدون عباسی
- ۳- استاد داور (خارجی): آقای دکتر ناصر وثوقی

تشکر و قدردانی

سپاس خداوند متعال که با لطف بیکران خود در تمام مراحل زندگی حامی و پشتیبان من بوده است.

با تشکر از خانواده ام که در این راه زحمت فراوانی برای من کشیده اند و تشکر ویژه از مادر و برادرم که با حمایت های خود این راه را برای من هموارتر نمودند. از همسرم و همچنین خانواده محترم شان که با بردبازی و تشویق شان باعث دلگرمی و آسودگی خاطر من بودند، کمال تشکر و قدردانی را دارم.

از اساتید خودم، جناب آقای دکتر شهریاری و جناب آقای دکتر عباسی که من افتخار شاگردی این بزرگواران را داشتم، مخصوصاً از آقای دکتر شهریاری که استاد راهنمای اینجانب بودند و راهنمایی های ایشان همواره کمک حال من در پیشبرد این پروژه بوده است، کمال تشکر و قدردانی را دارم.

از جناب آفایان مهندس قادری و مهندس صفوی که در ساخت سیستم آشکارسازی، کمک های فراوانی به من داشتند و همچنین جناب آقای کرمانیان بخاطر کمک های بی دریغ شان نهایت سپاس و قدردانی را دارم.

تشکر ویژه از جناب آقای مهندس آهوبی که در تهیه قطعات دستگاه به ما لطف فراوانی نمودند. از دوستان خودم، مهندس حسین چوبان و مهندس نوید حسن پور که از مشاوره و کمک شان بهرمند شدم و از تمامی دوستانی که در انجام این پروژه به من کمک کردند بی نهایت ممنون و سپاسگزارم.

کلیه حقوق مادی مترتب بر نتایج مطالعات،
ابتكارات و نوآوریهای ناشی از تحقیق موضوع
این پایان نامه متعلق به دانشگاه شهید بهشتی
می باشد.

به نام خدا

نام و نام خانوادگی: حمید جعفری

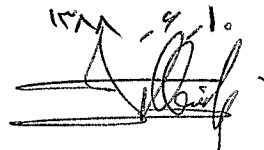
عنوان پایان نامه: طراحی سیستم رادیوگرافی نوترونی با استفاده از کد MCNPX

استاد راهنمای: آقای دکتر مجید شهریاری

اینجانب حمید جعفری تهیه کننده پایان نامه کارشناسی ارشد حاضر خود را ملزم به حفظ امانت داری و
قدرتانی از خدمات سایر محققین و نویسنندگان بنا بر قانون Copyright می دانم. بدین وسیله اعلام
می نمایم که مسئولیت کلیه مطالب درج شده با اینجانب می باشد و در صورت استفاده از اشکال؛ جداول، و
مطالب سایر منابع، بالاچاله مرجع آن ذکر شده و سایر مطالب از کار تحقیقاتی اینجانب استخراج گشته
است و امانتداری را به صورت کامل رعایت نموده ام. در صورتی که خلاف این مطلب ثابت شود، مسئولیت
کلیه عواقب قانونی با شخص اینجانب می باشد.

نام و نام خانوادگی دانشجو: حمید جعفری

امضاء و تاریخ: ۱۳۸۹



تقدیم

مادر عربانم

و

همسر عزیزم

چکیده

نام و نام خانوادگی : حمید جعفری

عنوان پایان نامه : طراحی سیستم رادیوگرافی نوترونی با استفاده از کد MCNPX

استاد راهنما : دکتر مجید شهریاری

تاریخ فراغت از تحصیل : ۱۳۸۸/-/-

درجه تحصیلی : کارشناسی ارشد

گرایش : کاربرد پرتوها

رشته : مهندسی هسته ای

دانشکده: مهندسی هسته ای

دانشگاه : شهید بهشتی

کلید واژه ها : رادیوگرافی نوترونی، کد MCNPX ، موازی ساز ، سیستم آشکارسازی ، فوتودیود

چکیده:

تصویربرداری نوترونی بعنوان یکی از روش‌های آزمون غیر مخرب مواد، بسرعت در حال توسعه و پیشرفت بوده و که دارای مزیت‌های بارزی نسبت به تصویربرداری پرتوی گاما (یا پرتوی ایکس) معمول است. سطح مقطع‌های نوترونی اغلب مستقل از عدد اتمی مواد (Z) است، در نتیجه تصویربرداری نوترونی قادر به تشخیص مواد با عدد اتمی یکسان و یا مواد با عدد اتمی پائین می‌باشد حتی اگر این مواد توسط موادی با عدد اتمی بالا پوشیده شده باشند.

در این پژوهه یک سیستم رادیوگرافی نوترونی قابل حمل با استفاده از چشممه‌ی رادیوایزوتوپی $^{241}\text{Am-Be}$ با اکتیویته‌ی ۵ کوری و سیستم آشکارسازی دیجیتال تبلو تخت، طراحی شده و یک نمونه آزمایشگاهی از سیستم تصویربرداری دیجیتال مبتنی بر شبکه فوتودیودی ساخته و مورد آزمایش قرار گرفت. محاسبات شبیه سازی با استفاده از کد مونت کارلوی MCNPX انجام گرفت.

در طراحی موازی ساز تمامی پارامترهای موثر برای داشتن یک باریکه نوترونی نسبتاً خالص، موازی شده و یکنواخت در نظر گرفته شده و محاسبه شده است. طول مناسب برای موازی ساز بگونه‌ای محاسبه شده اند که ضمن داشتن باریکه نوترونی مناسب، شار نوترونی در حد قابل قبولی برای انجام تصویربرداری نوترونی، باقی بماند. طول در نظر گرفته شده برای موازی ساز از چشممه‌ی آشکارساز برابر ۳۶ سانتیمتر و قطر دهانه‌ی داخلی آن $\frac{L}{D} = \frac{14/5}{4/49 \times 10^1}$ است که شار نوترونی حرارتی در مجرای خروجی موازی ساز $n/\text{cm}^2\text{s} = 4/49 \times 10^1$ با نسبت بالایی از $\frac{n}{\gamma} (\text{cGy}) = 3 \times 10^8$ بوده است. با استفاده از قابلیت تشکیل تصاویر رادیوگرافی در MCNPX، تصاویری از چندین نمونه‌ی آزمایشی که در مقابل باریکه‌ی نوترونی حاصل از موازی ساز طراحی شده قرار گرفتند، بدست آمد. همچنین سیستم آشکارساز نوری حساس به مکان در یک آرایه فوتودیودی 10×10 و به بعد $5 \times 5 \text{ cm}^2$ با تمامی مدارها و برد‌های مربوطه، طراحی و ساخته شد و درستی کارکرد این سیستم با استفاده از یک منبع نور مرئی و چندین نمونه‌ی آزمایشی مورد بررسی قرار گرفت.

فهرست مطالب

صفحه

عنوان

۱	فصل اول: مقدمه
۲	۱-۱- معرفی تصویربرداری نوترونی
۱۴	۱-۲- تاریخچه تصویربرداری نوترونی
۱۶	۱-۳- موازی ساز
۱۷	۱-۳-۱- شکل هندسی موازی ساز
۱۸	۱-۳-۲- مواد کند کننده
۱۸	۱-۳-۳- مواد دیوارها و آستر داخلی
- ۲۰	۱-۳-۴- گاز پر کننده فضای داخلی موازی ساز
۲۰	۱-۴- درپوش و دیافراگم ها در انتهای موازی ساز
۲۱	۱-۵- فیلترهای گاما و نوترون
۲۲	۱-۶- پارامترهای طراحی موازی ساز
۲۲	۱-۷- نسبت موازی بودن
۲۳	۱-۸- واگرایی باریکه
۲۴	۱-۹- شدت پرتوهای گاما
۲۴	۱-۱۰- شار نوترونی
۲۵	۱-۱۱- سیستم های آشکارسازی
۲۸	۱-۱۲- کاربردهای تصویربرداری نوترونی
۳۹	فصل دوم: فیزیک تصویربرداری نوترونی
۳۰	۲-۱- اصول فیزیکی تصویربرداری نوترونی
۳۵	۲-۲- کمیت سنجی (معرفی عناصر یک جسم)
۳۹	۲-۳- سیستم آشکارسازی تصویر
۳۹	۲-۴- الکترود تصویربرداری
۴۲	۲-۵- پرده های سوسوزن و آشکارساز CCD
۴۲	۲-۶- تابلوهای تخت سیلیسیوم غیر بلوری
۴۳	۲-۷- کاهش قدرت تصویربرداری
۴۹	۲-۸- رادیوگرافی نوترونی بلاذرنگ
۴۹	۲-۹- تصویربرداری با نوترون های سریع
۵۰	فصل سوم: طراحی نوترونیک سیستم تصویر برداری نوترونی
۵۱	۳-۱- چشميه $^{241}\text{Am-Be}$
۵۴	۳-۲- طراحی موازی ساز
۵۸	۳-۳- شبیه سازی مونت کارلویی از سیستم رادیوگرافی نوترونی
۶۰	۳-۴- کد MCNPX

۶۱.....	۲-۳-۳- مدل موازی ساز
۶۸.....	۱-۳- آزمایش موازی ساز ثانویه
۷۲.....	۴-۳- مدل سازی آشکارساز
۷۳.....	۱-۴-۳- تالی رادیوگرافی
۷۶.....	۵-۳- نتایج آزمایش های شبیه سازی
۷۶.....	۱-۵-۳- نفوذسنج ها برای تعیین کیفیت تصویربرداری
۷۷.....	۲-۵-۳- نمونه های آزمایشی
۸۲.....	۳-۵-۳- شبیه سازی MCNPX از تابع پهن شدگی نقطه ای
۸۵.....	۴-۵-۳- نمونه های آزمایشی برای مقایسه با رادیوگرافی فوتونی
۸۷.....	۶-۳- شبیه سازی آشکارساز تصویربرداری نوترونی
۹۱.....	فصل چهارم: طراحی سیستم آشکارسازی برای تصویربرداری نوترونی
۹۲.....	۱-۴- طراحی سیستم آشکارسازی
۹۵.....	۱-۴-۱- شبکه فوتودیودی
۹۶.....	۱-۴-۱-۱- برد حسگر
۱۰۱.....	۱-۴-۱-۲- برد کنترلی
۱۰۴.....	۱-۴-۲- پردازش داده ها
۱۰۵.....	۴-۲- نتایج سیستم تصویربرداری نوری
۱۱۱.....	فصل پنجم: نتیجه گیری و پیشنهادات
۱۱۲.....	۵-۱- نتیجه گیری
۱۱۴.....	۵-۲- پیشنهادات
۱۱۶.....	پیوست
۱۱۸.....	منابع و مأخذ

پیش گفتار

رادیوگرافی نوترون یکی از تست های غیر مخرب و روشهای تصویر برداری از قطعات مختلف و بیوژه قطعات پلیمری می باشد. سیستم رادیوگرافی نوترونی شامل سه جزء اصلی چشم، موازی ساز و آشکارساز است. در این پروژه طراحی بر اساس چشم رادیوایزوتوپی $^{241}\text{Am-B}\acute{\text{e}}$ و آشکارسازی با استفاده از آرایه ای از فوتودیودها به انجام رسیده است. مزیت این نوع آشکارسازی بر روشهای قدیمی، تصویر برداری بدون نیاز به فیلم و زمان ظهور آن و همچنین قابلیت تصویر برداری دینامیک می باشد. عملکرد یک سیستم رادیوگرافی نوترونی بر اساس بدست آوردن یک باریکه نوترونی بهینه و مناسب و همچنین چگونگی تشکیل تصویر در آشکارساز حساس به مکان توسط کد مونت کارلوی MCNPX شبیه سازی شده است.

در این پروژه سعی شده است مجموعه نسبتاً کاملی از ویژگی های یک سیستم تصویربرداری نوترونی جمع آوری و بر اساس تجهیزات و مواد موجود و با در نظر گرفتن قابل حمل بودن، سیستم تصویربرداری به همراه نتایج بدست آمده از شبیه سازی های این سیستم طراحی و محاسبه شود. و همچینین یک نمونه آزمایشگاهی از سیستم تصویربرداری دیجیتال مبتنی بر شبکه فوتودیودی طراحی و ساخته شد و مورد آزمایش قرار گرفت.

در فصل اول به بیان مقدمه ای از تصویربرداری نوترونی و تاریخچه ای مختصری از آن می پردازیم و اجزای اصلی یک سیستم رادیوگرافی نوترونی را معرفی می کنیم.

در فصل دوم اصول فیزیکی تصویربرداری نوترونی توضیح داده خواهد شد و انواع سیستم های آشکارسازی در تصویربرداری به اختصار شرح داده می شود.

در فصل سوم طراحی نوترونیک از یک سیستم تصویربرداری نوترونی بر اساس چشم رادیوایزوتوپی ($^{241}\text{Am-Be}$) و قابل حمل بودن سیستم با استفاده از کد مونت کارلوی MCNPX انجام گرفته و تمامی پارامترهای یک موازی ساز نوترونی مناسب بررسی شده و همچنین با استفاده از قابلیت تشکیل تصاویر رادیوگرافی در این کد، تصاویری از چندین نمونه ای آزمایشی که در مقابل باریکه ای نوترونی حاصل از موازی ساز طراحی شده قرار گرفتند، بدست آورده شد.

در فصل چهارم طراحی یک سیستم آشکارسازی برای تصویربرداری نوترونی شرح داده شده است. این سیستم در فاز اولیه بصورت یک آشکارساز تصویربرداری نوری می باشد که عملکرد آن براساس نور تولید شده از آشکارسازهای سیوسوزنی است. مراحل ساخت و نتایج آزمایش چندین نمونه ای آزمایشی هم مورد بررسی قرار گرفته است.

در نهایت در فصل پنجم به بیان نتیجه گیری و ارائه ای پیشنهادات برای ادامه ای کار پرداخته شده است.

فصل اول

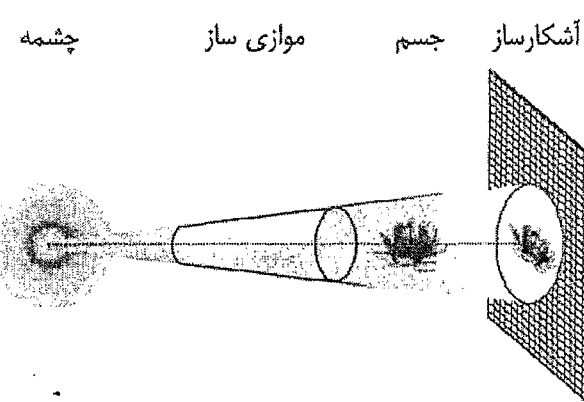




۱-۱ معرفی تصویر برداری نوترونی

یک تصویر دو بعدی را می توان به صورت یکتابع دو متغیره $f(x,y)$ تعریف کرد ، که x و y جهت های مختصات فضایی هستند و دامنه f در مختصات (x,y) شدت و یا تراز خاکستری^۱ تصویر در هر نقطه نامیده می شود. تراز خاکستری می تواند بیان کننده هر خصوصیتی از جسم باشد و بستگی به چشمته ای دارد که برای ایجاد تصویر مورد استفاده قرار می گیرد. در حالت کلی هر نوع تصویری از جسم، می تواند بیان کننده ی پارامترهای فیزیکی متفاوتی از آن جسم باشد.

در شکل (۱-۱) اصول پیکربندی یک سیستم تصویر برداری نوترونی به شکل ساده ای نشان داده شده است. نوترونهای ساطع شده از چشمته توسط یک موازی ساز به سمت جسم گزینش وهدایت شده و با مواد نمونه برهمکنش می کنند. آشکارساز در پشت جسم، تمامی نوترونهای عبوری چه آنها بیایی که با جسم برهمکنش کرده اند و چه آنها بیایی که برهمکنش نکرده اند را ثبت می نماید. صفحه ی آشکارساز عمدتاً بطور عمود بر باریکه قرار می گیرد و بصورت یک آرایه دو بعدی از نقاط تصویر (پیکسلها) می باشد.



شکل (۱-۱) : پیکربندی ساده ای از یک سیستم تصویر برداری نوترونی



امروزه معمولاً تصویربرداری رایج مورد استفاده، تصویربرداری نور مرئی است که در آن تراز خاکستری، بیان کننده‌ی شدت اپتیکی در هر نقطه از سطح جسم می‌باشد. اما در واقع انواع بسیار گوناگونی از تصویر برداری با چشم‌هایی متفاوت از قبیل تصویر برداری پرتو گاما، پرتو ایکس، نوترونی، مادون قرمز، امواج ماکرو، امواج رادیویی، الکترونی، فرراصوتی و ... وجود دارند. در تصویر برداری نوترونی، عبور باریکه نوترونی از جسم، تصویری را تولید می‌کند که بیان کننده میزان تغییر دو بعدی از خصوصیات تضعیف نوترونی جسم می‌باشد. تفاوت‌های بسیار اساسی میان تصویر برداری نور مرئی و تصویر برداری نوترونی وجود دارد. در تصویر برداری نور مرئی، تنها اطلاعات سطحی از جسم در تصویر بیان می‌شود ولی در تصویر برداری نوترونی درون یک جسم نیز به تصویر کشیده می‌شود. زیراکه نوترون‌ها (ذرات بدون بار) می‌توانند به درون اجسام نفوذ کنند. به همین دلیل در تصویربرداری نوترونی معمولاً از باریکه‌ی عبوری و در تصویر برداری نور مرئی از باریکه بازتابی استفاده می‌شود. تصویربرداری نوترونی به صورت یک تکنیک آزمون غیر مخرب^۱ و اندازه گیری غیرتخربی^۲، از دهه 1950 مورد استفاده قرار گرفت. برخلاف پرتوهای ایکس، نوترون‌ها با مواد گوناگونی با سطح مقطع‌های مشخص که تا حد زیادی مستقل از عدد اتمی مواد (Z) است برهمنکنش می‌کنند. هیدروژن و بور دو نمونه از موادی هستند که دارای سطح مقطع جذبی بالایی می‌باشند در حالیکه آهن دارای سطح مقطع نوترونی پایین‌تری است. بنابراین با تصویربرداری نوترونی، به دست آوردن تصاویری از این قبیل مواد (دارای سطح مقطع نوترونی بالا) حتی اگر به مقدار ناچیزی در نمونه وجود داشته باشند، ممکن خواهد بود.

این ماهیت متفاوت از برهمنکنش نوترون‌ها با ماده ناشی از این حقیقت است که نوترون‌ها برخلاف فoton‌ها که به طور عمدی با الکترون‌ها برهمنکنش دارند، به علت خنثی بودن، تنها با هسته اتم‌ها برهمنکنش می‌کنند. بنابراین سطح مقطع‌های فotonی با افزایش عدد اتمی ماده (Z)

افزایش پیدا می کنند. به همین دلیل امکان مشاهده مواد سبک (Z پایین) در یک نمونه با استفاده از فوتون ها وجود ندارد و همچنین تفکیک مواد سنگین (Z بالا) در صورتی که تفاوت کافی در عدد اتمی آن ها نباشد، مشکل است. اما با وجود این مزیت ها که تصویربرداری نوترونی را بر فوتونی (پرتوهای ایکس و گاما) برتری می دهد، این تصویربرداری (نوترونی) معاوی نیز دارد. به طور کلی این دو روش تصویربرداری (نوترونی و فوتونی)، مکمل یکدیگر می باشند. انتخاب هر کدام از آنها به مسئله مورد نظر بستگی دارد. تصویر ساده ای از احتمال برهمکنش ها بصورت یک جدول تناوبی در شکل های (۱-۲) و (۱-۳) نشان داده شده است، که تراز خاکستری بیان کننده قدرت تضعیف مخلوطهای ایزوتوبی طبیعی است. ضرایب تضعیف نیز در زیر نام هر عنصر در این جدول آورده شده است.

1a	2a	3a	4b	5b	6b	7b	8		1b	2b	3a	4a	5a	6a	7a	0
H 0.02																H ₂ 0.02
Li 0.06	Be 0.22										B 0.38	C 0.27	N 0.11	O 0.18	F 0.14	Ne 0.17
Na 0.13	Mg 0.24										Al 0.38	S 0.33	P 0.25	S 0.38	Cl 0.23	Ar 0.20
K 0.14	Ca 0.26	Sc 0.18	Tl 0.73													Br 0.90
Rb 0.17	Sr 0.86	Y 1.61	La 3.43	Nb 4.29	Mo 5.08	Tc 5.71	Ru 6.00	Rt 6.13	Po 5.07	Ao 4.84	Cd 4.31	In 3.98	Sn 4.20	Sp 4.00	Ta 3.45	I 2.73
Cs 1.42	Ba 2.73	La 5.04	Hf 19.70	Ta 25.47	W 30.49	Re 34.47	Os 37.82	Ir 39.01	Pt 38.61	Au 35.94	Hg 25.88	Tl 23.23	Pb 22.81	Bi 20.28	Po 20.22	At 9.77
Fr 11.80	Ra 24.47	Ac Ra	Rf Hs													
<hr/>																
<hr/>																
Ce 5.79	Pr 6.23	Nd 0.46	Pm 7.33	Sm 7.88	Eu 5.08	Gd 8.69	Tb 9.46	Dy 10.17	Ho 10.31	Er 11.70	Tm 12.49	Yb 9.32	Lu 14.07			
Th 28.85	Pa 39.85	U 46.03	Np Pu	Pu	An	Cm	Bk	Vf	Es	Fm	Md	No			X-ray	

Legend

Attenuation coefficient [cm⁻¹] = sp.gr.^{*} μ⁰
sp.gr.: Handbook of Chemistry and Physics, 56th edition 1975-1976.
μ⁰: J. H. Hubbell and S. M. Seltzer Ionizing Radiation Division, Physics Laboratory National Institute of Standards and Technology Gaithersburg, MD 20899.
<http://physics.nist.gov/PhysRefData/XrayMassCoefstab3.html>

شکل (۱-۲) : جدول تناوبی عناصر با ضریب تضعیف برای پرتوی ایکس در ۱۲۰ kV

1a	s	3b	4b	5b	6b	7b	8	1b	2b	3a	4a	5a	6a	7a
Li	3.44										B	C	N	O
Li	3.30	Be	0.79								101.60	0.56	0.43	0.17
Na	0.09	Mg	0.15								Al	Si	P	S
K	0.06	Ca	0.08	Ti	0.60	V	0.72	Cr	0.54	Co	3.82	Ge	As	Se
Rb	0.08	Sr	0.14	Y	0.27	Zr	0.29	Nb	0.40	Ru	10.88	Pd	Ag	Cd
Cs	0.29	Ba	0.07	La	0.52	Hf	4.98	Re	0.85	If	30.48	In	Sn	Sb
Fr	0.34	Ra		Ac		Rf		Ha		Au	115.11	Hg	Tl	Pb
											7.58	D.21	0.30	0.25
											0.47	0.38	0.27	At
Lanthanides	0.14	Ce	0.41	Pm	5.72	Sm	171.47	Eu	94.58	Gd	1479.04	Tb	Dy	Hg
Actinides	0.59	Th	8.46	Pa	0.82	Np	Pu	Cm	50.20	Bk	Cf	Es	Fm	Er
														Tm
														No
														Lr neut.

Legend

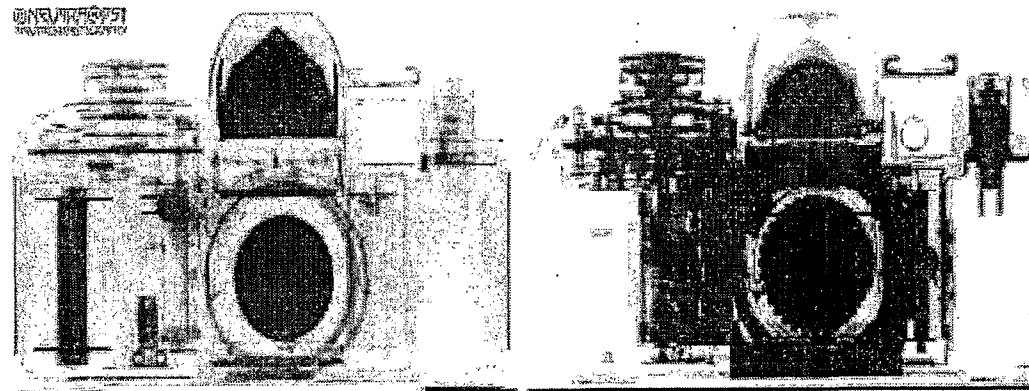
$$\text{Attenuation coefficient [cm}^2\text{]} = \frac{s-\text{total} * \text{sp.gr.} * 0.6023}{\text{at.wt}}$$

s-total: JEF Report 14. Table of simple integral neutron cross section data from JEF-2.2, ENDF-VI, JENDL-3.2, BROND-2 AND CENDL-2, AEN NER, 1994.
 and Special Feature: Neutron scattering lengths and cross sections, Varley F. Sears, AECL Research, Chalk River Laboratories, Chalk River, Ontario, Canada K0J 1JO, Neutrons News, Vol. 3,
<http://www.ncnr.nist.gov/resources/n-lengths/list.htm>.

شکل (۱-۳) : جدول تناوبی عناصر با ضریب تضعیف برای نوترون های حرارتی

نمونه‌ی از اختلاف میان رادیوگرافی نوترونی و تصویربرداری فوتونی در شکل (۱-۴) نشان داده

شده است. توجه کنید که چگونه یک رادیوگرافی نوترونی (در سمت چپ) قسمت‌های اصلی پلاستیکی مانند میله گردان فیلم را نشان می‌دهد، در حالیکه تصویر پرتوی X (در سمت راست) یک نمای واضح از قسمت‌های فلزی را می‌دهد و میله گردان پلاستیکی در این حالت قابل مشاهده نیست. این خاصیت سبب می‌شود که برای آزمونهای غیر مخربی که پرتوهای ایکس قادر به تصویربرداری از جسم مورد نظر نیستند، نظیر نمونه‌هایی در درون غلاف فلزی، از تصویربرداری نوترونی استفاده شود.



شکل (۴-۱) : رادیوگرافی پرتوی ایکس (سمت راست) در مقابل رادیوگرافی نوترونی (سمت چپ) [۳۹]

اولین مشکل در تصویربرداری نوترونی، دسترسی به چشمeh های نوترونی با شار بالا می باشد. در مورد فوتون ها، چشمeh هایی را می توان (پرتوهای ایکس) به آسانی با شار مورد نیاز تولید نمود و قیمت خیلی بالایی هم ندارند. در مورد نوترون ها، چشمeh های قابل دسترس را می توان به سه دسته عمدۀ تقسیم بندی نمود [1]:

- چشمeh های راکتور
- چشمeh های شتاب دهنده
- چشمeh های رادیوایزوتوبی

این چشمeh ها به ترتیب کاهش مرتبه شار نوترونی مرتب شده اند. اما از نظر قیمت این چشمeh ها به غیر از چشمeh های رادیوایزوتوبی که دارای حداقل شار نوترونی می باشند) به طور قابل توجهی گرانتر از چشمeh های فوتونی می باشند. جزئیات بیشتر در مورد هر یک از این چشمeh ها در ادامه بررسی خواهد شد. همچنین مقایسه ای از این چشمeh ها در جدول (۱-۱) آورده شده است.

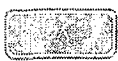
جدول (۱-۱) : مروری بر چشمه های نوترونی به منظور تصویربرداری

نوع چشمہ	راکتور هسته ای	چشمہ متلاشی کننده	رادیوایزوتوپ
برهمکنش	شکافت	D-T	ترانزیشن γ -II
مواد مورد استفاده	U-235	دوتریوم ، تریتیوم	Am , Be
شدت نوترون های اولیه (n/s)	10^{16}	4×10^{11}	10^8
شدت باریکه (n/cm^2s)	10^6 تا 10^9	10^5	10^3
انرژی نوترون	سریع، حرارتی	سریع، حرارتی و سرد	حرارتی، $24 keV$
محدودیت استفاده	Burn up	طول عمر تیوب	نیمه عمر رادیوایزوتوپی
دوره کارگرد نوعی	۱ ماه	۱۰۰۰ ساعت	۴۳۲ سال
قیمت تاسیسات	بالا	متوسط	پائین

• چشمه های راکتوری

چشمه های راکتوری با شار نوترون حرارتی بسیار بالا که قدرت تفکیک بالایی را برای رادیوگرافی به همراه دارد، در تصویربرداری نوترونی مورد استفاده قرار می گیرند. اینگونه چشمه ها قابل حمل نبوده، بسیار گران قیمت و دارای زمانهای پرتودهی از مرتبه ی چندین دقیقه و شار نوترون حرارتی در حدود $10^6 - 10^7 n/cm^2s$ می باشند.

پارامترهای مهم برای انجام رادیوگرافی نوترونی با استفاده از راکتور هسته ای عبارتند از: پیک شار حرارتی، امکان دستیابی به آن و آلودگی های ناشی از نوترون های سریع و پرتوهای گاما. آلودگی ناشی از پرتوهای گاما را می توان تا حد زیادی با قراردادن یک فیلتر تک بلوری بیسیمومت در مسیر باریکه نوترونی کاهش داد. این فیلتر تاثیر ناچیزی در شدت نوترونی در انرژی های حرارتی دارد. برای استفاده ای از راکتور هسته ای به منظور رادیوگرافی نوترونی، لازم است توان حرارتی تا حد امکان پائین نگه داشته شود چراکه حرارت تولید شده در راکتور عامل غیر ضروری در رادیوگرافی می باشد.



در تصویربرداری از پدیده های گذرا، عملکرد پالسی راکتور های هسته ای می تواند یک مزیت عمدۀ محسوب شود. راکتورهای از قبیل نوع TRIGA دارای هر دو عملکرد حالت پایدار و پالسی هستند.

• چشمۀ های شتابدهنده

به طور خلاصه واکنش هایی که برای تولید نوترون در شتابدهنده ها به کار می روند به گروه های کلی

زیر تقسیم می شوند:

الف- واکنش های (p,n)

ب- واکنش های (d,n)

ج- واکنش های (t,n)

برای تولید نوترون های تک انرژی در فاصله انرژی چند صد keV تا ۲۰ MeV از واکنش های زیر استفاده می شود که در جدول (۱-۲) نشان داده شده اند.

جدول (۱-۲): برهم کنش های مهم برای تولید نوترون تک انرژی بین چند صد keV تا ۲۰ MeV

پهنه ای انرژی keV	بهره در صفر درجه (n.Sr ⁻¹ .μ.A ⁻¹)	هدف	محدوده انرژی (MeV)	نوع واکنش
30	$6 \times 10^6 - 3 \times 10^7$	لیتیوم جامد	0.2-0.7	⁷ Li(p,n) ⁷ Be
100	$3/3 \times 10^7 - 1/6 \times 10^8$	گاز	0.7-3	³ H(p,n) ³ He
100	$5 \times 10^6 - 1/7 \times 10^7$	TiT _{1.5}	0.7-3	³ H(p,n) ³ He
100	$2/8 \times 10^7 - 7/5 \times 10^7$	گاز	3.5-8	² H(d,n) ³ He
100	$5 \times 10^6 - 9 \times 10^6$	TiD _{1.5}	3.5-8	² H(d,n) ³ He
100	$\approx 10^8$	گاز	3-13	³ H(d,n) ³ He
100	$\approx 8 \times 10^6$	گاز	14-20	³ H(d,n) ⁴ He

از نقطه نظر رادیوگرافی نوترونی، یکی از معایب چشمۀ های نوترونی با برهمکنش d-T، تولید نوترون ها با انرژی نسبتا بالا می باشد. چراکه کند کردن این نوترون های پر انرژی تا حدی مشکل ساز خواهد بود. یک عیب دیگر در ارتباط با این چشمۀ های برای انجام رادیوگرافی نوترونی، شدت پیوسته‌ی بالای نوترون های تولید شده از این ژنراتورها می باشد که باعث کاهش عمر مفید



هدف خواهد شد [2]. از مزایای این چشمه‌های نوترونی، بکارگرفتن حجم بزرگی از مواد سبک هدف، هم بعنوان چشمه‌ی نوترونی و هم بعنوان کند کننده می‌باشد. از دیگر موارد قابل اشاره برای این نوع چشمه‌ها، وجود زمینه‌ی بسیار بالایی از پرتوهای ایکس و گاما در باریکه نوترونی است که سبب ایجاد مشکل در آشکارسازهای نوترونی خواهد شد.

در کل، چشمه‌های شتابدهنده امروزه بعنوان یکی از چشمه‌های خوب برای انجام رادیوگرافی نوترونی مورد استفاده قرار می‌گیرند اما نیاز به نگهداری مداوم داشته و همچنین خروجی نوترونی آنها به ازای ۴ ساعت استفاده از جریانهای باریکه $i = 4 \text{ mA}$ به اندازه‌ی یک مرتبه‌ی بزرگی کاهش پیدا می‌کند. بالاترین خروجی مفید از این چشمه‌ها تقریباً برابر با $10^{11} \text{ n/cm}^2\text{s}$ می‌باشد.

• چشمه‌های رادیوایزوتوپی

چشمه‌های رادیوایزوتوپی دارای مزیت‌های عمدۀ ای می‌باشند از جمله اینکه نیازی به منبع تغذیه‌ی خروجی ندارند، قابل حمل بوده و قابل اعتماد هستند. از نظر قیمتی نیز، چشمه‌های رادیوایزوتوپی نوترونی در حال حاضر از ارزانترین چشمه‌های نوترونی هستند. برخی از این چشمه‌ها را می‌توان برای انجام رادیوگرافی نوترونی مورد استفاده قرار داد [۳-۵]. جدول (۱-۳) نشان‌دهنده‌ی پارامترهای اساسی برای چشمه‌های رادیوایزوتوپی مورد استفاده در رادیوگرافی نوترونی می‌باشد.

جدول (۱-۳) : خصوصیات چشمه‌های رادیوایزوتوپی نوترونی مورد استفاده در رادیوگرافی نوترونی.

چشمه	برهمکنش	نیمه عمر	متوسط انرژی نوترونی (MeV)	خروچی نوترونی ($\text{ns}^{-1}\text{g}^{-1}$)
$^{124}\text{Sb-Be}$	(γ -n)	۶۰ روز	۰/۰۲۴	$2/7\times 10^9$
$^{210}\text{Po-Be}$	(α -n)	۱۳۸ روز	۴/۳۰	$1/28\times 10^{10}$
$^{239}\text{Pu-Be}$	(α -n)	۸۹ سال	۴/۰	$4/7\times 10^7$
$^{241}\text{Am-Be}$	(α -n)	۴۳۲ سال	۴/۵۰	$1/0\times 10^7$
$^{242}\text{Cm-Be}$	(α -n)	۱۶۳ روز	۴/۰	$1/46\times 10^{12}$
^{252}Cf	شکافت خودبه خودی	۲/۶۳ سال	۲/۳	$2/52\times 10^{12}$